

طراحی سیستم کوپل سرداز ترموماکوستیکی بر مبنای جذب گرمای اتلافی موتورهای پیستونی

نیروگاه های تولید برق

علی دهقانی^{۱*}، کریم مظاہری^۲، عباس بابائی زارچ^۳

ali.dehghani@ae.sharif.edu

mazaheri@sharif.ir

babaei_abbas@ae.sharif.edu

* علی دهقانی

محیط ریخته می شود. اگر بتوان این گرما را جذب کرد، می توان از آن برای گرم کردن فضا، گرم کردن آب و یا به عنوان توان ورودی سیستم کوپل سرداز ترموماکوستیک استفاده کرد، که به طور بالقوه مصرف انرژی را بسیار کارآمدتر می کند. سیستم های ترموماکوستیک قابلیت های ویژه ای دارند که موجب برتری آن ها از دیگر سیستم های رایج شده است. یک سیستم ترموماکوستیک چه از نوع تولید توان و چه از نوع تبرید، بسیار ارزان قیمت تراز مدل های رایج بوده و دارای قابلیت اطمینان بیشتری می باشد. برای سیال کاری در سیستم های ترموماکوستیک از گازهایی همچون هلیوم، آرگون، هوا و ... استفاده می شود که هیچ گونه اثر مخربی بر روی محیط زیست ندارند. در این سیستم ها قطعه متحرک مانند پیستون، میل لنگ، سوپاپ و ... وجود ندارد. در نتیجه، در این سیستم ها ارتعاش به حداقل رسیده، به روغن کاری نیز نیازی نیست و تعمیر و نگهداری آن بسیار آسان است. این دلایل بزرگترین عامل در تشویق دانشمندانی است که در این زمینه به فعالیت مشغول می باشند. باید اشاره کرد که عمدۀ ترین چالش این سیستم ها، بازده پایین آن ها در مقایسه با سیستم های رایج کنونی می باشد.

۱- مروری بر ادبیات
 ترموماکوستیک اساساً سیستم های ترمودینامیک و آکوستیک را ترکیب می کند. بنابراین، تعامل بین صدا و گرما را توصیف می کند. سرداز کوپل ترموماکوستیک، دستگاهی است که از ترکیب دو سیستم سرداز ترموماکوستیک و موتور ترموماکوستیک تشکیل شده است. از این رو، یک سرداز ترموماکوستیک به گرما نیاز دارد تا با استفاده از یک موج صوتی تولید شده توسط موتور ترموماکوستیک، سرما فراهم کند. تاریخچه ترموماکوستیک به قرن ها پیش برمی گردد. این پدیده برای اوین بار توسط بایرون هیگینز [۱] در سال ۱۷۷۷ ثبت شد. او کشف کرد که وقتی یک منبع گرما به شکل شمع در داخل یک لوله قرار می گیرد که دو انتهای لوله باز می باشد، نوسانات صوتی ایجاد می شود. او همچنین مشاهده کرد که فرکانس های خاصی از صدا بسته به موقعیت منبع گرما در داخل لوله تولید می شود. نادر و همکاران [۲] در سال ۲۰۲۰، یک موتور ترموماکوستیکی را به منظور بازیافت گرمای اتلافی حاصل از اگزوز یک موتور احتراق داخلی طراحی و بررسی کردند. در سال ۲۰۰۵ میلادی مطالعه ای که توسط زونتج و همکاران [۳] انجام شد، چشم انداز استفاده از پیکربندی سرداز کوپل ترموماکوستیک را به عنوان جایگزینی برای

چکیده

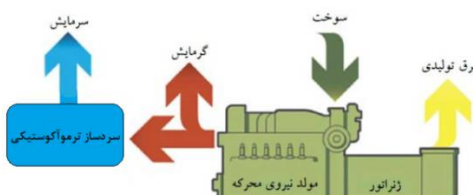
طراحی و مطالعه پارامتریک یک سیستم کوپل سرداز ترموماکوستیک بر اساس نظریات ترموماکوستیک انجام شده است. کاربرد این سرداز جایی است که گرمای اتلافی موتور های پیستونی نیروگاه های تولید برق پراکنده می تواند به عنوان ورودی انرژی استفاده شود. طراحی بر اساس سادگی و کم هزینه بودن ساخت سرداز صورت می گیرد. بنابراین بخش موتور و سرداز سیستم کوپل در یک تشید کننده با قطر ثابت محصور شده است که دو طرف تشید کننده بسته می باشد. سرداز موج متحرک ضریب عملکرد بیشتری نسبت به سرداز موج ایستا دارد. هدف طراحی سرداز با بالاترین عملکرد می باشد و سرداز موج متحرکی که با یک موتور موج ایستا تحریک می شود برای طراحی نهایی انتخاب می شود. سیال کاری هوا در فشار ۱ مکاپاسکال و فرکانس کاری ۶۰ هرتز است. پارامترهای هندسی استک و ریجنریتور، به عنوان قلب سیستم ترموماکوستیک، برای حداکثر کارایی سیستم کوپل سرداز ترموماکوستیک بهینه شده اند. این سامانه سرداز، با توان ورودی ۸۰۰ وات قادر است ۱۶۳ وات توان خنک کنندگی در دمای ۲۷۳ کلوین تولید کند. راندمان موتور ترموماکوستیک برای تبدیل انرژی حرارتی به صوتی ۱۲ درصد و ضریب عملکرد سرداز ۲/۳ است. سرداز کوپل ترموماکوستیکی دارای راندمان کلی ۲۰ درصد می باشد.

واژه های کلیدی: سرداز کوپل ترموماکوستیک – موتور ترموماکوستیک
– نیروگاه پراکنده – موج ایستا – موج متحرک

۱- مقدمه

با توجه به پایان پذیر بودن انرژی های فسیلی و نقش آن ها به عنوان مهم ترین عامل آلودگی هوا و تغییرات آب و هوایی، استفاده بهینه ای از انرژی از اهمیت بسیار بالایی برخوردار بوده و از چالش های قرن حاضر به شمار می رود. در نیروگاه های تولید پراکنده^۱ (DG)، هنگامی که از یک موتور احتراق داخلی برای تولید الکتریسیته استفاده می شود، بخش زیادی از انرژی که به شکل سوخت به موتور عرضه می شود، به صورت گرما در اگزوز موتور خارج می شود یا توسط سیستم های خنک کننده موتور به

^۱ Distributed Generation



شکل ۱- شماتیک نیروگاه CCHP با سرداز کوپل ترمواکوستیک

در یک موتور احتراق داخلی منابع اصلی گرمای اتلاف عبارتند از: اگزوژن موتور، سیستم خنک کننده آب محفظه موتور و سیستم خنک کننده روغن (روغن کاری). گاز خروجی حاوی یک سوم انرژی سوخت و ۳۰ تا ۵۰ درصد از کل گرمای اتلافی موتور است [۶]. گرمای اگزوژن معمولاً در موتورهای معمولی جذب نمی‌شود، اما در صورت نیاز به گرما، نصب یک سیستم بازیابی حرارت به اگزوژن موتور آسان است. دمای اگزوژن معمولاً بین ۳۷۰ تا ۵۴۰ درجه سانتیگراد است. فرآیند تولید همزمان را می‌توان بر اساس انواع مولدهای نیروی محرکه، از جمله توربین‌های گاز، توربین‌های بخار، موتورهای احتراقی و مولدهای دیگر طبقه‌بندی نمود. در شرایطی که منابع تولید انرژی اولیه نیز شامل دامنه وسیعی از جمله سوخت‌های

فسیلی، زیست توده، زمین گرمایی و یا انرژی خورشیدی می‌باشدند. یکی از پرکاربردترین موتورهای پیستونی گاز سوز که از آن‌ها در نیروگاه‌های تولید همزمان در ایران استفاده می‌شود، موتور ژنراتور‌های گازی MTU 20V4000 GS مدل MTU می‌باشدند. در این پژوهش، موتور MTU 20V4000 GS بررسی شده است. این موتور ژنراتور دارای ۲۰ سیلندر می‌باشد و از جمله اطلاعات مورد نیاز در رابطه با گاز خروجی از اگزوژن این نوع موتور می‌توان به دما و دبی جرمی اشاره کرد که مقادیر آن و سایر پارامترهای مهم این موتور ژنراتور در جدول (۱) آورده شده است.

جدول ۱- خصوصیات موتور ژنراتور GS

مقدار	پارامتر
۲۱۴۵	برق تولیدی (کیلو وات)
۱۱۹۶	گرمای تولیدی (کیلو وات)
۱۰۷۸	گرمای اگزوژن (کیلو وات)
۴۹۹۰	انرژی ورودی (کیلو وات)
۴۳	راندمان الکتریکی (درصد)
۷۴۵	دمای گاز خروجی از اگزوژن (کلوین)
۲/۸۵	دبی جرمی گاز خروجی از اگزوژن (کیلوگرم بر ثانیه)

در این پژوهش، مطابق شکل (۲)، مقدار مورد نیازی از گاز خروجی از اگزوژن موتور ژنراتور به مبدل حرارتی گرم مربوط به موتور سیستم کوپل ترمواکوستیک انتقال داده خواهد شد و بدین صورت گرمای مورد نیاز سیستم سرداز کوپل ترمواکوستیک تامین می‌شود. با در نظر گرفتن تلفات گرما در مسیر انتقال به موتور ترمواکوستیک می‌توان دمای ۷۰۰ کلوین را برای گرمای داده شده به سیستم ترمواکوستیک تخمین زد. از آن جایی که گاز‌های خروجی از اگزوژن موتور احتراق داخلی شامل محصولات مخرب احتراق می‌باشند و قابلیت خوردگی فلزات را دارند، انتخاب مبدل حرارتی گرم سیستم ترمواکوستیک حائز اهمیت می‌باشد.

تهویه مطبوع خودرو بررسی کرد. آن‌ها از گرمای باقیمانده ناشی از اگزوژن موتور برای به حرکت درآوردن موتور ترمواکوستیک و در نتیجه کارکرد تهیه مطبوع استفاده کردند. به این نتیجه رسیدند که با دریافت ۳۰۰ وات گرمای اضافی از اگزوژن خودرو، می‌توان ۳۰ وات بار خنک کنندگی در دمای ۲۷۵ کلوین تولید کرد. جوامع روستایی اغلب فاقد اتصال شبکه برق هستند اما برای ذخیره سازی تجهیزات حیاتی پژوهشی به قابلیت‌های برودتی نیاز دارند. بنابراین، در یک پژوهشی جاورسکی و همکاران [۴] در سال ۲۰۱۸ برای رفع این مشکل از گرمای ضایعات حاصل از پخت و پز روزمره برای هدایت یک سرداز کوپل ترمواکوستیکی استفاده کردند. آن‌ها توانستند با توان ورودی ۶۰۰ وات به موتور ترمواکوستیک، ۱۳۳ وات بار خنک کنندگی در دمای ۲۵۰ کلوین تولید کنند. در زمینه سرداز های کوپل ترمواکوستیکی مطالعات تجربی نیز انجام شده است. دسای و همکارانش [۵] به طور تجربی به مطالعه و آنالیز یک یخچال ترمواکوستیک موج ایستا با محرك ترمواکوستیک موج ایستا پرداخته اند. هدف از بررسی این سامانه، افزایش عملکرد یک سیستم سرداز کوپل با استفاده از انتخاب‌های هندسی و شرایط عملیاتی بهتر است.

۱- نیروگاه‌های موتور پیستونی

موتورهای پیستونی یا موتورهای رفت و برگشتی با اختلاف زیادی بزرگ‌ترین گروه موتورهای حرارتی ترمودینامیکی هستند که در سراسر جهان استفاده می‌شوند. هنگامی که از یک موتور احتراق داخلی برای تولید الکتریسیته استفاده می‌شود، بخش زیادی از انرژی که به شکل سوخت به موتور عرضه می‌شود، به صورت گرما در اگزوژن موتور خارج می‌شود، اگر بتوان این گرما را جذب کرد می‌توان از آن برای گرم کردن فضا یا گرم کردن آب استفاده کرد، که به طور بالقوه مصرف انرژی را بسیار کارآمدتر می‌کند. راندمان تولید برق مبتنی بر موتور پیستونی از ۲۵ درصد برای موتورهای کوچک تا نزدیک به ۵۰ درصد برای موتورهای بسیار بزرگ متغیر است. این بدان معناست که بین ۵۰ تا ۷۵ درصد از انرژی سوخت در واقع به صورت گرما هدر می‌رود [۶]. اگر این گرما قابل جذب باشد، می‌توان از آن در یک سیستم تولید همزمان استفاده کرد. این نوع سیستم اغلب سیستم حرارت و برق ترکیبی^۱ (CHP) نیز نامیده می‌شود و می‌تواند بازده مصرف سوخت را تا ۸۰ درصد یا بیشتر افزایش دهد. راندمان کلی به نوع و اندازه موتور بستگی دارد. در واقع تولید همزمان از نگاه ترمودینامیکی به معنای تولید دو یا چند شکل از انرژی با استفاده از یک منبع انرژی اولیه می‌باشد و از آن جا که دو شکل معمول انرژی، حرارتی و مکانیکی هستند و انرژی مکانیکی غالباً برای راندن یک ژنراتور الکتریکی به کار بrede می‌شود، این فرآیند به تولید همزمان برق و حرارت (CHP) شناخته می‌گردد. حال در صورت به کارگیری سرداز ترمواکوستیکی، جهت تولید برودت و استفاده از گرمای سرداز بازیافت نیروگاه تولید برق، به منظور تأمین انرژی موردنیاز موتور ترمواکوستیک کوپل شده با سرداز، مطابق با شکل (۱)، امکان تولید همزمان برق، گرما و سرما نیز وجود خواهد داشت که چنین سیستمی را سیستم برودت، حرارت و برق ترکیبی^۲ (CCHP) می‌نامند.

¹ Combined Heat and Power

² Combined Cooling, Heat and Power

عمق نفوذ لزج، ضخامت لایه اطراف صفحه جامد است که در آن اثرات لزجت قابل توجه می باشد.

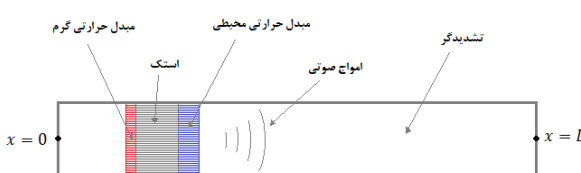
$$\delta_v = \sqrt{\frac{2\mu}{\rho\omega}} \quad (2)$$

در روابط بالا، K ضریب هدایت حرارتی، C_p گرمای ویژه در فشار ثابت، μ چگالی گاز، ω فرکانس زاویه ای و ρ ویسکوゼیته دینامیکی گاز است. لازم به ذکر است که در سردساز های ترموماکوستیک، دامنه جابجایی گاز $|\zeta_1| > 1$ بسیار کوچکتر از طول موج صوتی و طول افقی استک و بسیار بزرگتر از هر دو عمقد نفوذ حرارتی و لزج می باشد [۹].

$$\delta_k, \delta_v \ll |\zeta_1| \ll \lambda, L_s \quad (3)$$

۲-۳-۲- شرایط مرزی

دستگاه های ترموماکوستیک را از نظر نوع موج (سیکل کاری) می توان به سیستم های موج رونده و موج ایستا دسته بندی کرد. وابسته به این که فشار و سرعت آکوستیکی تقريبا هم فاز باشند یا تقريبا 90° درجه با هم اختلاف فاز داشته، دستگاه به ترتیب موج رونده و موج ایستا خواهد بود. اگرچه تبادل حرارتی بین استک و سیال کاری در هر دو سیستم موج ایستا و رونده مشابه است اما تفاوت اصلی بین آن ها در طرح و ساختار لوله تشديد کننده^۳ می باشد [۱۰]. یک سیستم موج رونده توسط مرزی محدود نمی شوند و صدا را تا زمانی که تلف شود، قادر به حرکت می سازند. بر عکس، سیستم های موج ایستا شامل یک لوله استوانه ای خطی می باشند که از یک مرز تشکیل شده و امواج صوتی را منعکس می کند. در نتیجه، سیستم های موج رونده به دلیل عدم برگشت ناپذیری ذاتی نسبت به همتایان موج ایستای خود کارآمدتر هستند [۱۱]. در این پژوهش بخش موتور و سردساز سیستم کوپل در یک لوله تشديد کننده با قطر ثابت محصور شده است که دو طرف تشديد کننده بسته می باشد. در شکل (۴) شماتیک لوله تشديد کننده شامل موتور موج ایستا مشاهده می شود.



شکل ۴- شماتیک موتور ترموماکوستیک موج ایستا

ابتدا و انتهای سامانه بسته می باشد یعنی سرعت حجمی در ابتدا و انتهای سامانه صفر شده که در رابطه (۴) آورده شده است.

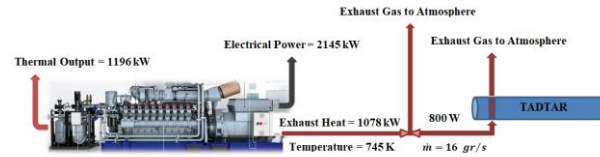
$$U_1 = 0 \text{ at } x = 0, x = L \quad (4)$$

توان صوتی از رابطه زیر بدست می آید:

$$\dot{E}_{Acoustic} = \frac{1}{2} |P_1| |U_1| \cos(\phi_{PU}) \quad (5)$$

² Resonator

جنس مبدل حرارتی گرم فولاد ضد زنگ انتخاب می شود چرا که در برابر حرارت بالا و گاز های خورنده مقاوم است و در برابر خوردگی مقاومت بالایی از خود نشان می دهد.



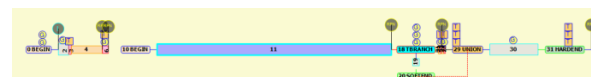
شکل ۲- بلوك دیاگرام سردساز ترموماکوستیک برای بازیابی گرمای اталافی

۲- مدل عددی

تئوری ترموماکوستیک اساساً مبتنی بر خطی سازی با دامنه کم معادله ناویر-استوکس با نوسانات سینوسی همه متغیرها است که توسط رات در سال ۱۹۸۰ گزارش شده است [۷]. معادلات ترموماکوستیک حاکم، از معادلات خطی ناویر-استوکس، پیوستگی، انرژی و همچنین با استفاده از قانون دوم ترمودینامیک حاصل شده اند. اولین معادله حاکم، معادله موج رات نامیده می شود، که معادله موج فشار برای زمانی است که گرادیان دما در امتداد استک وجود دارد. دومین معادله حاکم معادله شار انرژی است و معادله سوم حاکم، معادله توان صوتی نامیده می شود که می توان از آن برای استخراج توان صوتی جذب شده در استک استفاده کرد.

۲- نرم افزار دلتا ای سی

نرم افزار دلتا ای سی^۱ یک برنامه تخصصی است که توسط وارد و سوئیفت در آزمایشگاه ملی لوس آلاموس برای بررسی عملکرد سامانه های ترموماکوستیک نوشته شده است [۸]. دلتا ای سی یک نرم افزار شبیه سازی است که به طور گسترده در طراحی سردسازها و موتورهای ترموماکوستیک و برای پیش بینی کارایی آن ها کاربرد دارد. این نرم افزار بر پایه نظریه ترموماکوستیک خطی طراحی شده است. در این پژوهش برای طراحی و بهینه سازی سیستم کوپل ترموماکوستیک از این نرم افزار استفاده شده است. شکل (۳) یک مدل ساده از سردساز کوپل ترموماکوستیک را نشان می دهد.



شکل ۳- مدل عددی سردساز کوپل ترموماکوستیک در نرم افزار DeltaEC

۲- مقیاس های طولی در سیستم های ترموماکوستیک

در یک سیستم ترموماکوستیک، دو مقیاس طولی از نظر طراحی مهم هستند. یکی عمق نفوذ حرارتی (δ_k) و دیگری عمق نفوذ لزج (δ_v) نام دارد. این دو مقیاس به ترتیب در روابط (۱) و (۲) آورده شده اند. عمق نفوذ حرارتی مربوط به ضخامت لایه در اطراف صفحه جامد است که از طریق آن گرما می تواند در طول یک چرخه کامل نوسانی یک توده گاز پخش شود.

$$\delta_k = \sqrt{\frac{2K}{\rho C_p \omega}} \quad (1)$$

¹ DeltaEC Software

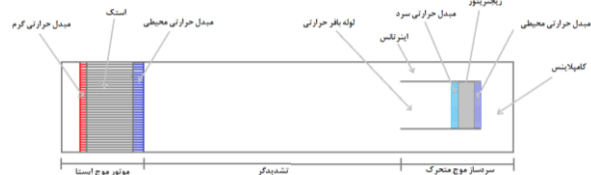
در این بخش موتور ترموماکوستیک موج ایستایی در نرم افزار دلتا ای سی طراحی و بهینه سازی شده است. پارامتر های عملکردی و خروجی این سامانه پس از بهینه سازی در جدول (۲) آورده شده است. در بخش بعدی برای طراحی سامانه سردساز کوپل ترموماکوستیک، بخش سردساز به این موتور اضافه شده و فرآیند بهینه سازی انجام شده است.

جدول ۲- پارامتر های عملکردی و خروجی سامانه موتور ترموماکوستیک

واحد	پارامتر های عملکردی	مقدار
وات	مقدار حرارت منتقل شده در مبدل حرارتی گرم	۸۰۰
وات	مقدار حرارت منتقل شده به مبدل حرارتی محیطی	۶۷۲
مگاپاسکال	فشار متوسط	۱
وات	بیشینه توان صوتی تولیدی	۱۲۷
درصد	بیشینه راندمان موتور	۱۶
هرتز	فرکانس	۶۰

۳-۲- طراحی و بهینه سازی سردساز کوپل ترموماکوستیک

در این بخش به طراحی و بهینه سازی سیستم سردساز موج متخرک کوپل شده با موتور موج ایستا پرداخته می شود که شماتیک آن در شکل (۶) قابل مشاهده می باشد. تاثیر پارامتر های مختلف بر روی عملکرد کلی سامانه کوپل ترموماکوستیک مورد بررسی قرار می گیرد و در ادامه عملکرد کلی سیستم کوپل تحلیل خواهد شد.



شکل ۶- شماتیک سیستم سردساز کوپل ترموماکوستیک

شرط عملکردی سیستم سردساز کوپل ترموماکوستیک برای طراحی و بهینه سازی در نرم افزار دلتا ای سی در جدول (۳) آورده شده است.

جدول ۳- پارامتر های عملکردی سامانه سردساز کوپل ترموماکوستیک

واحد	پارامتر	مقدار
وات	گرمایی داده شده به موتور	۸۰۰
کلوین	دمای مبدل حرارتی گرم موتور	۷۰۰
کلوین	دمای مبدل حرارتی محیطی موتور	۳۰۵
کلوین	دمای مبدل حرارتی محیطی سردساز	۳۰۵
کلوین	دمای مبدل حرارتی سرد سردساز	۲۷۳

با استفاده از معادله های توان صوتی و مومنتوم شرایط مرزی در ابتدا و انتهای سامانه به صورت رابطه (۶) در می آیند.

$$\frac{dp_1}{dx} = 0, \dot{E}_{acoustic} = 0 \text{ at } x = 0, x = L \quad (6)$$

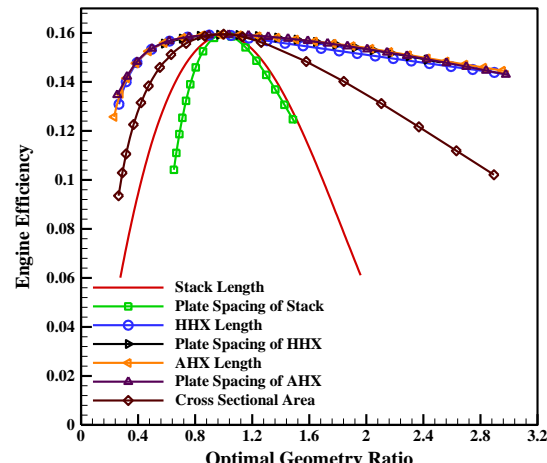
۳- نتایج عددی

۳-۱- طراحی و بهینه سازی موتور ترموماکوستیک

در فرآیند بهینه سازی موتور ترموماکوستیکی موج ایستا (شکل (۴)) مهم ترین پارامترهایی که روی عملکرد سامانه اثر می گذارند و در پژوهش های دیگر نیز بررسی شده است [۱۲]، پارامتر های هندسی مربوط به استک موتور می باشد. اگرچه پارامتر های هندسی دیگر اجزا مانند مبدل های حرارتی سرد و گرم تاثیر کمتری بر عملکرد موتور دارند اما پارامترهای طراحی این نیز در فرآیند بهینه سازی کارایی موتور بررسی می شود. ابعاد بهینه اجزای موتور توسط بهینه سازی در نرم افزار دلتا ای سی به دست می آید. فرآیند بهینه سازی با تغییردادن مقدار پارامترهای هر بخش از دستگاه شامل طول و فاصله بین صفحات استک، طول و فاصله بین صفحات مبدل حرارتی گرم، طول و فاصله بین صفحات مبدل حرارتی سرد و سطح مقطع موتور صورت می گیرد. فرآیند بهینه سازی هنگامی که به پیکربندی بهینه با بیشترین عملکرد موتور رسید متوقف می شود، که عملکرد موتور در رابطه (۷) آورده شده است.

$$Engine Efficiency = \frac{\dot{E}_{Acoustic}}{Q_H} \quad (7)$$

در رابطه بالا، Q_H گرمایی منتقل شده به مبدل حرارتی گرم و $\dot{E}_{Acoustic}$ توان صوتی تولید شده توسط سیستم موتور ترموماکوستیک می باشد. تحلیل حساسیت اثر پارامترهای هندسی هر بخش روی عملکرد موتور در شکل (۵) آورده شده است. در این شکل پارامتر های هندسی سامانه موتور با استفاده از مقدار بهینه هر پارامتر، بی بعد شده است. در نتیجه نسبت هندسی بهینه برابر با یک شده و راندمان موتور در آن بیشینه می شود. مشاهده می شود که سطح مقطع موتور، طول استک و فاصله بین صفحات استک بیشترین اثر را بر راندمان موتور داشته و تغییرات کم این سه پارامتر باعث تغییرات شدید راندمان موتور می شود. همچنین می توان نتیجه گرفت که راندمان موتور حساسیت چندانی به تغییر طول و فاصله بین صفحات مبدل های حرارتی ندارد. در نهایت با بهینه کردن پارامتر های هندسی موتور می توان به راندمان ۱۶ درصدی برای موتور ترموماکوستیک رسید.



شکل ۵- اثر نسبت هندسی بهینه شده روی راندمان موتور ترموماکوستیک

یک فرکانس کاری مشخص باعث کوچک شدن دستگاه و در نتیجه کم شدن هزینه ساخت آن می شود و این نکته که استفاده از هوا به عنوان گاز کاری هزینه ای در بر ندارد. همچنین دسترسی راحت تری به هوا نسبت به سایر گازها وجود دارد. بنابراین هوا به عنوان گاز کاری سیستم کوپل انتخاب شده است. پارامترهای گاز کاری در جدول (۴) آورده شده اند.

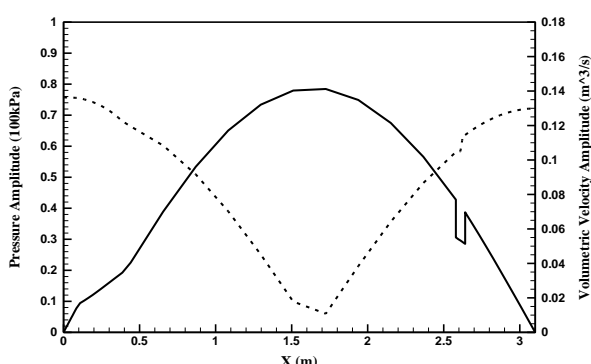
جدول ۴- پارامترهای گاز کاری

Parameters	Value	Unit
Dynamic Viscosity (μ)	2.05×10^{-5}	kg/m.s
Thermal Conductivity (K)	2.96×10^{-2}	W/m.K
Sound Velocity (a)	372.19	m/s
Ratio of Isobaric to Isochoric Specific Heat (γ)	1.4	
Thermal Penetration Depth (δ_k)	1.24×10^{-4}	m
Viscous Penetration Depth (δ_v)	1.03×10^{-4}	m
Prandtl Number (σ)	0.695	

۲-۲-۳- فشار

چگالی توان هر سیستم ترموماکوستیک مستقیماً با فشار متوسط گاز در حال نوسان متناسب است [۱۳]. بنابراین، داشتن فشار متوسط بالا سودمند است. نکته ای که باید در نظر گرفت این است که عمق نفوذ حرارتی (δ_k) با ریشه درجه دوم فشار متوسط نسبت معکوس دارد. بنابراین، با توجه به این نکته، انتخاب فشار متوسط خیلی زیاد، δ_k را به مقادیر کوچک کاهش می دهد، که به معنی فاصله کوچک بین صفحات است که است. فراتر از یک مقدار معین، این می تواند منجر به کار و زمان فشرده ساخت شود و گاهی اوقات حتی ممکن است غیرممکن باشد. فشار متوسط سامانه کوپل برابر با ۱ مگاپاسکال و دامنه فشار نوسانی آن برابر با $70/66$ کیلوپاسکال می باشد.

در شکل (۸) نمودار تغییرات دامنه فشار و دامنه سرعت حجمی در طول سیستم کوپل رسم شده است (خط چین و خط توپر به ترتیب مربوط به دامنه فشار و دامنه سرعت حجمی می باشد). و همانطور که مشاهده می شود با توجه به این که سیستم کوپل از نوع موج ایستا می باشد در ابتدا و انتهای سیستم گره سرعت و در وسط سیستم گره فشار اتفاق می افتد.

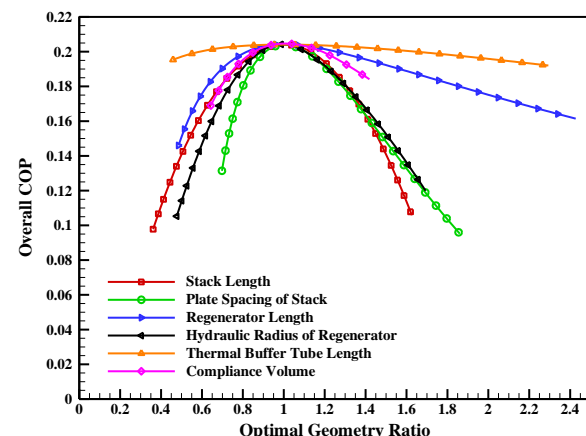


شکل ۸- تغییرات دامنه فشار و سرعت حجمی در طول سیستم کوپل

در این بخش بهینه سازی برای رسیدن به حداقل ضریب عملکرد کلی سامانه سردساز کوپل انجام خواهد شد. برای محاسبه ضریب عملکرد کلی سامانه سردساز کوپل از رابطه (۸) استفاده می شود.

$$Overall COP = \frac{\dot{Q}_{load}}{Q_H} \quad (8)$$

در رابطه بالا، \dot{Q}_{load} توان خنک کنندگی سردساز و Q_H گرمای داده شده به متور سامانه کوپل می باشد. مشابه تحلیل حساسیتی که برای موتور موج ایستا انجام شد، در این بخش حساسیت سامانه کوپل نسبت به تغییر پارامترهای هندسی مختلف سامانه کوپل مربوط به تغییر پارامترهای هندسی مربوط به مبدل های حرارتی ندارد. بنابراین در این بخش دیگر پارامترهای هندسی مربوط به مبدل های حرارتی بررسی نشده است. در شکل (۷) نمودار حساسیت ضریب عملکرد کلی سامانه کوپل نسبت به تغییر پارامترهای هندسی سامانه آورده شده است. مشاهده می شود که فاصله بین صفحات استک و شعاع هیدرولیکی ریجنریتور بیشترین تاثیر را بر ضریب عملکرد کلی دارند. میان پارامترهای هندسی بررسی شده تغییر طول لوله بافر حرارتی کمترین اثر را بر ضریب عملکرد سامانه کوپل دارد. حساسیت ضریب عملکرد سامانه کوپل نسبت به تمامی پارامترهای هندسی بررسی شده زیاد می باشد (به جز طول لوله بافر حرارتی که حساس است کمتر مشاهده می شود).

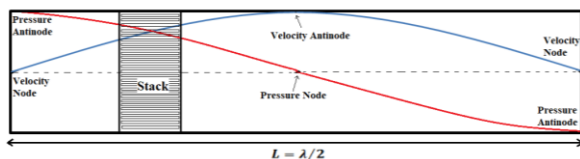


شکل ۷- اثر نسبت هندسی بهینه شده روی ضریب عملکرد کلی سامانه سردساز کوپل ترموماکوستیک

در ادامه پارامترهای عملکردی و هندسی مربوط به بخش های مختلف سیستم سردساز کوپل ترموماکوستیکی به طور مجزا بررسی و تحلیل خواهد شد.

۲-۳-۱- انتخاب گاز کاری

چگالی توان یک دستگاه ترموماکوستیکی با سرعت صوت در گاز کاری متناسب است [۱۳] با توجه به این که گاز هلیوم بالاترین سرعت صوت را داراست و ضریب هدایت حرارتی بالایی هم دارد، می تواند یک گزینه مناسب به عنوان گاز کاری باشد. اما بالا بودن سرعت صوت هلیوم باعث افزایش طول تشدید کننده و بزرگ شدن دستگاه شده و هزینه های ساخت و نگهداری را افزایش می دهد. از سوی دیگر سرعت صوت پایین هوا برای



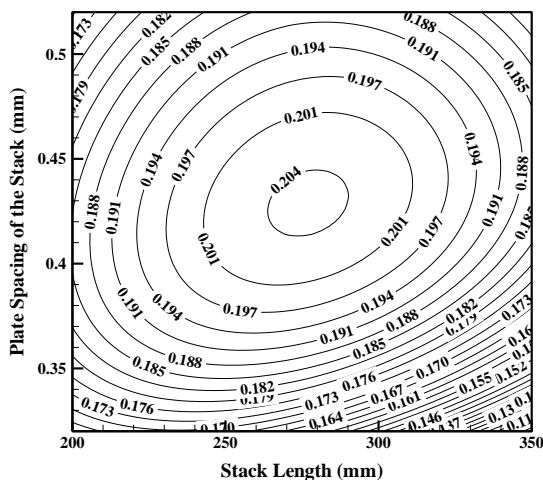
شکل ۹- گره و پادگره سرعت و فشار در سامانه موج ایستا

در پادگره سرعت، تلفات ویسکوز در بالاترین حد خود است زیرا بالاترین مقدار سرعت در این نقطه است و در پادگره فشار، تلفات حرارتی بالاترین است. بنابراین محل قرار گیری استک باید بین گره سرعت و گره فشار باشد. موقعیت مطلوب قرار گیری مرکز استک پیشنهاد شده توسط سوئیفت [۹]. تقریباً $20/\lambda$ است که از آنتی گره فشار اندازه گیری می‌شود. مرکز استک موتور در فاصله 0.2476 متری از دیواره سمت چپ سیستم کوپل قرار دارد.

برای یک استک با صفحات موازی، فاصله بهینه صفحات استک تقریباً بین $2\delta_k$ تا $4\delta_k$ می‌باشد [۱۴]. فاصله بین صفحات و ضخامت صفحات استک موتور به ترتیب برابر با 0.043 میلی متر و 0.05 میلی متر می‌باشد. بنابراین از رابطه (۱۰) ضریب تخلخل استک برابر با 0.046 به دست می‌آید.

$$\phi = \frac{y_0}{y_0 + l} \quad (10)$$

در رابطه بالا، y_0 نصف فاصله بین صفحات استک و l نصف ضخامت صفحات استک می‌باشد. افزایش طول استک منجر به افت فشار بیشتر در سراسر استک می‌شود که عملکرد سیستم را کاهش می‌دهد و از سوی دیگر استک با طول خیلی کوچک برای ایجاد یک اثر تبرید خوب کافی نخواهد بود. بنابراین طول بهینه ای برای استک باید انتخاب شود. در شکل (۱۰) اثر طول و فاصله بین صفحات استک موتور بر ضریب عملکرد کلی سامانه کوپل به طور همزمان بررسی شده و کانتور آن رسم شده است.



شکل ۱۰- کانتور اثر طول و فاصله بین صفحات استک موتور روی ضریب عملکرد کلی سامانه کوپل

۳-۲-۳- فرکانس کاری

فرکانس سیستم از رابطه (۹) به دست می‌آید که در این رابطه a سرعت صوت و λ طول موج می‌باشد.

$$f = \frac{a}{\lambda} \quad (9)$$

از رابطه بالا مشخص می‌شود که برای تعیین فرکانس، سرعت صوت و طول موج مورد نیاز است که به نوبه خود به نوع گاز، شرایط مرزی و طول تشیدیدکننده بستگی دارد. هنگامی که سیستم در حال تشیدید است، طول کلی دستگاه معمولاً ممکن است نصف طول موج یا یک چهارم طول موج باشد. یک تشیدیدگر نیم طول موج دارای دو سر بسته است که منجر به گره‌های سرعت و پادگره‌های فشار در انتهای تشیدیدکننده می‌شود. در تشیدیدکننده نیم طول موج، مودهای اساسی دارای طول تشیدیدگری هستند که با نیم طول موج مطابقت دارد. دو عامل مهم دیگر وجود دارد که فرکانس نوسان یک دستگاه ترموماکوستیک را تعیین می‌کند. یکی چگالی توان است که به طور خطی با فرکانس تشیدید صوتی متناسب است. بنابراین مطلوب است که فرکانس تا حد ممکن زیاد باشد. اما عامل دوم، عمق نفوذ حرارتی است که با جذر فرکانس نسبت معکوس دارد. بنابراین، داشتن فاصله بین صفحات استک بزرگتر به این معنی است که فرکانس باید کوچکتر باشد. فرکانس بهینه کوپل 60 هرتز می‌باشد و طول موج سیستم تقریباً برابر با $6/2$ متر به دست می‌آید.

۴-۲-۳- بهینه سازی استک

هندسه‌های مختلف استک^۱ در دستگاه‌های ترموماکوستیک موج ایستا استفاده می‌شود. برخی از آن‌ها استک با صفحه‌های موازی، استک با منافذ مستطیلی، استک‌های مارپیچی، آرایه‌های پین و ... هستند. هر یک از این هندسه‌ها را می‌توان به طور موثر برای ایجاد اثر ترموماکوستیک استفاده کرد. بالاترین چگالی توان برای هندسه استک آرایه پین و هندسه صفحه موازی به دست می‌آید. استک با منافذ دایره‌ای و منافذ مستطیلی، چگالی توان کمتری دارند [۹]. در مقایسه با هندسه استک آرایه پین، ساخت هندسه صفحه موازی آسان تر است و از این رو انتخاب می‌شود. در هنگام انتخاب ماده استک، باید ماده ای با کمترین مقدار هدایت حرارتی و بالاترین ظرفیت حرارتی ممکن انتخاب شود. استک‌ها را می‌توان از فلزات مختلفی مانند فولاد ضد زنگ، سرامیک، پلاستیک یا فایبرگلاس، بسته به کاربردی که دارند، ساخت. اگر مواد استک دارای رسانایی بالایی باشد، انتقال حرارت در سراسر استک به جای گاز از طریق مواد استک انجام می‌شود که منجر به عدم تولید اثر ترموماکوستیک می‌شود. بنابراین جنس استک موتور، فولاد ضد زنگ انتخاب شده است. همانطور که در شکل (۹) مشاهده می‌شود، با در نظر گرفتن یک تشیدیدکننده به طول $\lambda/2$ سرعت در دو انتهای سیستم صفر است و در $x = \lambda/2$ نیز تغییرات فشار کم است.

¹ Stack

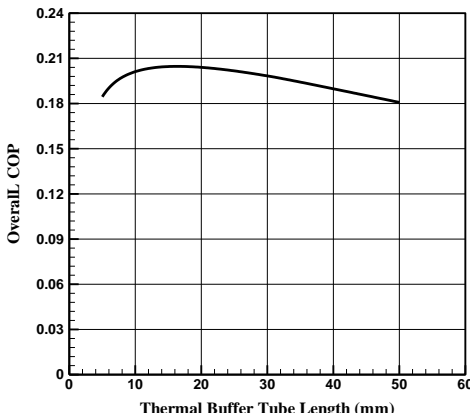
حدود دو تا چهار مبدل حرارتی در سیستم وجود دارد. این سامانه شامل چهار مبدل حرارتی می باشد که مشخصات آن ها پس از طراحی و بهینه سازی در جدول (۵) آورده شده است.

جدول ۵- پارامتر های هندسی مبدل های حرارتی سامانه کوپل

واحد	مقدار	پارامتر
میلی متر	۲۴	طول مبدل حرارتی گرم موتور
میلی متر	۱/۱۷۵	فاصله بین صفحات مبدل حرارتی گرم موتور
میلی متر	۰/۷	ضریب تخلخل مبدل حرارتی گرم موتور
میلی متر	۵۵	طول مبدل حرارتی محیطی موتور
میلی متر	۱/۱۵	فاصله بین صفحات مبدل حرارتی محیطی موتور
میلی متر	۰/۷	ضریب تخلخل مبدل حرارتی محیطی موتور
میلی متر	۱۴/۹	طول مبدل حرارتی محیطی سردساز
میلی متر	۰/۵	فاصله بین صفحات مبدل حرارتی محیطی سردساز
	۰/۷۵	ضریب تخلخل مبدل حرارتی محیطی و سرد سردساز
میلی متر	۱۲/۴	طول مبدل حرارتی سرد سردساز
میلی متر	۰/۵	فاصله بین صفحات مبدل حرارتی سرد سردساز

۷-۲-۳- لوله بافر حرارتی

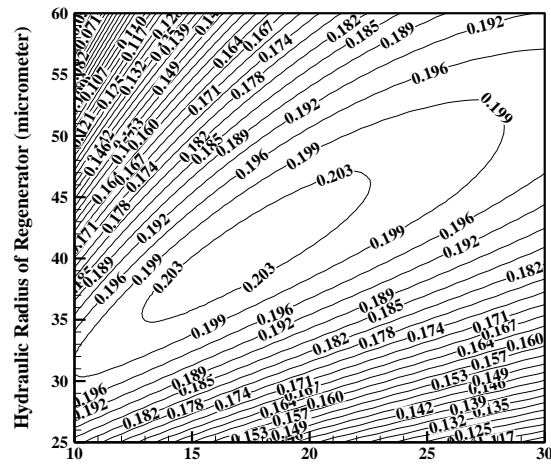
سطح مقطع لوله بافر حرارتی^۳ برابر با سطح بخش سردساز سامانه کوپل بوده که لوله ای ۳ اینچی می باشد. خمامت لوله بافر نیز برابر با ۱ میلی متر می باشد و اثر طول آن روی ضریب عملکرد کلی سامانه کوپل در شکل (۱۲) آورده شده است. لوله بافر حرارتی قطعه ای است که برای عایق کردن دمای گاز از سمت مبدل سرد سردساز به سمت دیگر سامانه کوپل به تدریج افزایش می یابد. اگر لوله بافر حرارتی خیلی کوتاه باشد نمی تواند از نشت گرما به مبدل سرد به خوبی جلوگیری کند. از طرف دیگر اگر طول آن زیاد باشد باعث زیاد شدن افت های لزج می شود. بیشترین ضریب عملکرد سامانه کوپل در طول لوله بافر حرارتی ۱۶/۴۷ میلی متر به دست می آید.



شکل ۱۲- نمودار اثر طول لوله بافر حرارتی روی ضریب عملکرد کلی سامانه کوپل

۳-۵- پیوپنه سازی ریجنریتور

ریجنریتور^۱ مهم ترین بخش سردساز سامانه کوپل ترموآکوستیکی می باشد. در سردساز های ترموآکوستیکی موج متحرک برای ریجنریتور به طور گسترده از توری های فولادی ضد زنگ استفاده می شود. بنابراین در این پژوهش توری فولادی ضد زنگ به عنوان ریجنریتور سردساز انتخاب می شود. توری فولادی دارای شعاع هیدرولیکی کم در مقایسه با عمق نفوذ حرارتی است، بنابراین تماس حرارتی خوبی بین گاز و جامد مجاور ش برقار می شود. نسبت شعاع هیدرولیکی به عمق نفوذ حرارتی (r_h/δ_k)، معمولاً به عنوان پارامتر بهینه سازی برای هندسه ریجنریتور در نظر گرفته می شود [۱۵]. این پارامتر نشان دهنده موثر بودن تماس حرارتی بین گاز و مز جامد است. اگر این پارامتر کم باشد تماس حرارتی عالی بین گاز کاری و جامد برقرار می شود ولی این عمل باعث افزایش افت فشار در عبور گاز از ریجنریتور می شود، که باعث کاهش دامنه سرعت حجمی عبوری از ریجنریتور و در نتیجه کاهش توان آکوستیکی عبوری برای تولید اثر سرمایش ترموآکوستیکی کافی می شود. بیشینه ضریب عملکرد کلی سامانه در شعاع هیدرولیکی ۳۹/۶ میکرومتر به دست می آید. طول ریجنریتور نیز اثری مشابه با شعاع هیدرولیکی روی ضریب عملکرد کلی سامانه کوپل دارد. معمولاً ریجنریتور کوتاه تر مقاومت کمتری در برابر حریان ایجاد کرده و توان صوتی کمتری را تلف می کند. اما اگر طول ریجنریتور زیاد باشد، افت لزج خیلی بیشتر شده و توان صوتی بیشتری در ریجنریتور تلف می شود. بیشینه ضریب عملکرد کلی در طول ریجنریتور ۱۶/۴۸ میلی متر به دست می آید. در شکل (۱۱) اثر طول و شعاع هیدرولیکی سردساز بر ضریب عملکرد کلی سامانه کوپل به طور همزمان بررسی شده و کانتور آن رسم شده است.



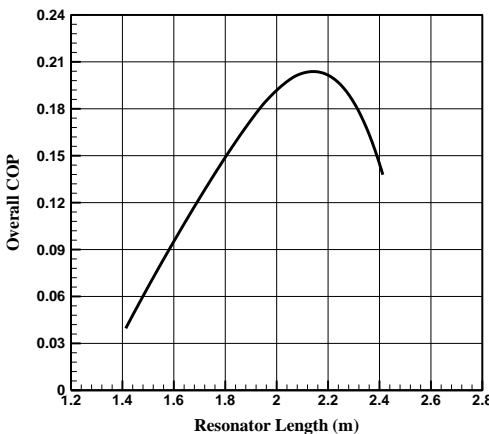
شکل ۱۱- کانتور اثر طول و شعاع هیدرولیکی ریجنریتور روی ضریب عملکرد کلی سامانه کوپل

۶-۲-۳- مبدل های حرارتی

در این سامانه کوپل از ساده ترین نوع مبدل های حرارتی یعنی مبدل با صفحات موازی استفاده شده است. بسته به نوع دستگاه ترموآکوستیک،

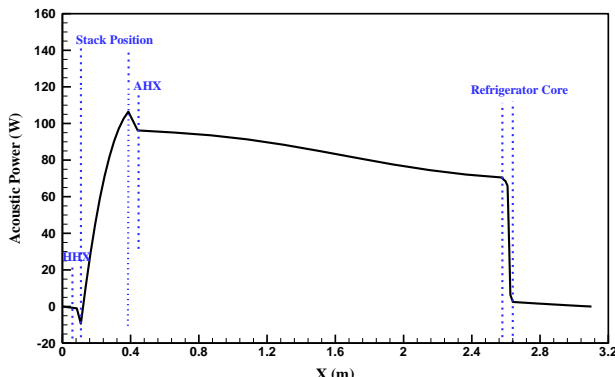
² Thermal buffer tube

¹ Regenerator



شکل ۱۴- نمودار اثر طول تشدیدکننده روی ضریب عملکرد کلی سامانه کوپل

۱۱-۲-۳- عملکرد سامانه سردساز کوپل در شکل (۱۵) توزیع توان صوتی در طول سیستم سردساز کوپل نمایش داده شده است. همانطور که مشاهده می شود، ۱۰۶/۴۸ وات توان صوتی توسط استک موتور تولید می شود که ۱۰/۲۶ وات از این توان صوتی در مبدل حرارتی محیطی موتور و ۲۵/۷۵ وات در تشدیدگر تلف می شود. در نهایت تقریباً ۷۰/۵ وات توان صوتی به بخش سردساز سیستم کوپل داده می شود. بخش سردساز با دریافت توان صوتی از بخش موتور سامانه قادر است تقریباً ۱۶۲/۳ وات توان خنک کنندگی در دمای ۲۷۳ کلوین تولید کند.

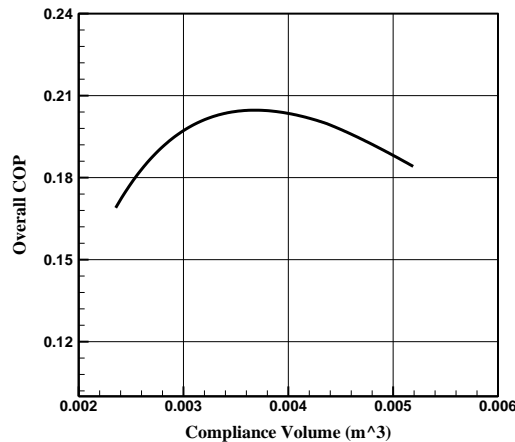


شکل ۱۵- نمودار توزیع توان صوتی در طول سامانه سردساز کوپل

نمودار تغییرات دما در طول سیستم کوپل در شکل (۱۶) آورده شده است. دمایی که در آن گرمای تلف شده به استک تحویل داده می شود، ۷۰۰ کلوین در نظر گرفته می شود. دمای مبدل های حرارتی محیطی نیز ۳۰۵ کلوین می باشد. همانطور که مشاهده می شود دمای گاز در ناحیه ای از استک موتور تا انتهای چپ سیستم تقریباً در ۶۷۴ کلوین ثابت است. زیرا مبدل های حرارتی گرم و محیطی متصل به استک موتور در دمای تنظیم شده خود حفظ می شوند. اختلاف دمای تولید شده در سراسر استک ۳۶۴ کلوین است. در بخش سردساز سیستم کوپل، انتهای سرد در دمای ۲۷۳ کلوین حفظ می شود در حالی که انتهای گرم در دمای محیطی ۳۰۵ کلوین است.

۸-۲-۳- کامپلاینس

سطح مقطع کامپلاینس^۱ برابر با سطح مقطع تشدیدکننده و بخش موتور می باشد که برابر است با 0.0081 متر مربع (لوله ۴ اینچی) می باشد. از آن جایی که حجم کامپلاینس پارامتر تاثیرگذاری بر عملکرد سامانه می باشد، بنابراین طول کامپلاینس است که حجم آن را تعیین می کند. کامپلاینس مانند یک فضا برای ذخیره و تغذیه توان آکوستیکی به سردساز عمل می کند و همچنین اختلاف فاز بین فشار و سرعت حجمی را در ریجنریتور کنترل می کند. در شکل (۱۳) اثر حجم کامپلاینس روی عملکرد کلی سامانه کوپل آورده شده است که بیشینه ضریب عملکرد در حجم کامپلاینس 0.0037 متر مکعب (۳/۷ لیتر) به دست می آید. حجم کمتر یا بیشتر کامپلاینس نسبت به مقدار بهینه باعث افت ضریب عملکرد سامانه کوپل می شود.



شکل ۱۳- نمودار اثر حجم کامپلاینس روی ضریب عملکرد کلی سامانه کوپل

۹-۲-۳- اینرتننس

دو پارامتر هندسی مهم اینرتننس^۲ طول و سطح مقطع آن می باشد. سطح مقطع اینرتننس از تفاضل سطح مقطع تشدیدگر و سطح مقطع بخش سردساز سامانه کوپل به دست می آید که برابر با 0.0033 متر مربع می باشد. طول اینرتننس نیز از مجموع طول ریجنریتور، لوله بافر حرارتی، مبدل حرارتی سرد سردساز و مبدل حرارتی محیطی سردساز به دست می آید که برابر با $60/25 \text{ میلی متر}$ می باشد.

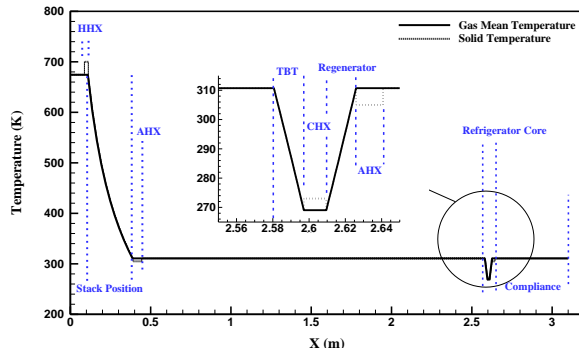
۱۰-۲-۳- تشدیدکننده

فضای بین بخش سردساز و موتور مربوط به سامانه کوپل همانطور که در شکل (۶) نشان داده شده است، همان تشدیدکننده می باشد که اثر طول آن روی ضریب عملکرد کلی سامانه کوپل در شکل (۱۴) نشان داده شده است. بالاترین عملکرد سامانه کوپل در طول تشدیدکننده برابر با $214/3 \text{ میلی متر اتفاق می افتد.}$

¹ Compliance

² Inertance

- Journal of natural philosophy, chemistry and the arts*, Vol. 1, Issue. 129-131, p. p. 2, 1802.
- [2] Nader, W. B., Chamoun, J., & Dumand, C.; "Thermoacoustic engine as waste heat recovery system on extended range hybrid electric vehicles", *Energy Conversion and Management*, Vol. 215, p. p. 112912, 2020.
- [3] Zoontjens, L., Howard, C., Zander, A., & Cazzolato, B.; "Feasibility study of an automotive thermoacoustic refrigerator", *Proceedings of acoustics*, Busselton, Australia, 2005.
- [4] Saechan, P., & Jaworski, A. J.; "Thermoacoustic cooler to meet medical storage needs of rural communities in developing countries-High pressure system", *Thermal Science and Engineering Progress*, Vol. 8, p. p. 31-46, 2018.
- [5] Desai, A., Desai, K., Naik, H., & Atrey, M.; "Experimental study and analysis of a thermoacoustically driven thermoacoustic refrigerator", *Sādhanā*, Vol. 45, Issue. 1, p. p. 1-12, 2020.
- [6] Breeze, P.; *Piston engine-based power plants*, Academic Press, 2017.
- [7] Rott, N.; "Thermoacoustics", *Advances in applied mechanics*, Vol. 20, p. p. 135-175, 1980.
- [8] Ward, B., Clark, J. and Swift, G. W.; "Design Environment for LowAmplitude ThermoAcoustic Energy Conversion (DELTAEC) programme. Version 6.3 b11", Los Alamos National Laboratory, New Mexico, USA, 2012.
- [9] Swift, G. W.; *Thermoacoustics: A unifying perspective for some engines and refrigerators*, Acoustical society of America, 2003.
- [10] Yasui, K., Kozuka, T., Yasuoka, M., & Kato, K.; "Revisiting the difference between traveling-wave and standing-wave thermoacoustic engines-A simple analytical model for the standing-wave one", *Journal of the Korean Physical Society*, Vol. 67, Issue. 10, p. p. 1755-1766, 2015.
- [11] Ceperley, P. H.; "A pistonless Stirling engine - The traveling wave heat engine", *The Journal of the Acoustical Society of America*, Vol. 66, Issue. 5, p. p. 1508-1513, 1979.
- [12] Swift, G. W.; "Thermoacoustic engines", *The Journal of the Acoustical Society of America*, Vol. 84, Issue. 4, p. p. 1145-1180, 1988.
- [13] Olson, J., & Swift, G.; "Similitude in thermoacoustics", *The Journal of the Acoustical Society of America*, Vol. 95, Issue. 3, p. p. 1405-1412, 1994.
- [14] Tijani, M., Zeegers, J., & De Waele, A.; "The optimal stack spacing for thermoacoustic refrigeration", *The Journal of the Acoustical Society of America*, Vol. 112, Issue. 1, p. p. 128-133, 2002.
- [15] Jaworski, A. J. & Mao, X.; "Development of thermoacoustic devices for power generation and refrigeration. Proceedings of the Institution of Mechanical Engineers", Part A: *Journal of Power and Energy*, Vol. 227, Issue. 7, p. p. 762-782, 2013.



شکل ۱۶- نمودار تغییرات دما در طول سامانه سردساز کوپل

پس از طراحی و بهینه سازی سیستم سردساز موج متحرک کوپل شده با موتور موج ایستا، پارامتر های خروجی در جدول (۶) آورده شده است.

جدول ۶- پارامتر های حاصل از طراحی و بهینه سازی سامانه کوپل

پارامتر	واحد	مقدار
توان صوتی تولیدی موتور ترمواکوستیک	وات	۹۶/۲۲
راندمان موتور ترمواکوستیک	درصد	۱۲
توان خنک کنندگی سردساز	وات	۱۶۲
ضریب عملکرد سردساز	٪	۲/۳
ضریب عملکرد کلی سامانه کوپل	درصد	۲۰

۴- نتیجه گیری

در این پژوهش یک سردساز کوپل ترمواکوستیکی بر مبنای جذب گرمای اталافی موتور های پیستونی نیروگاه های تولید برق طراحی و بهینه سازی شده است. برای شروع طراحی ابتدا پارامتر های عملکردی سامانه ترمواکوستیک از تجزیه و تحلیل گرمای اталافی موتور احتراق داخلی استخراج شده است. سپس در ادامه یک موتور ترمواکوستیکی موج ایستا طراحی و بهینه سازی شد و حساسیت عملکرد موتور ترمواکوستیک نسبت به پارامتر های هندسی آن بررسی شد. از تحلیل حساسیت نتیجه گیری شد که پارامتر های هندسی استک و سطح مقطع سیستم بیشترین تاثیر را بر عملکرد یک سیستم موتور ترمواکوستیک موج ایستا دارند. با اضافه کردن سردساز به موتور طراحی شده یک سامانه سردساز کوپل ترمواکوستیکی با شرایط عملکردی استخراج شده از موتور پیستونی طراحی و بهینه سازی شد. گاز کاری هوا انتخاب شد و سامانه سردساز کوپل در فشار ۱ مکاپاسکال کار می کند. این سامانه سردساز، با توان ۲۷۳ ورودی ۸۰۰ وات قادر است ۱۶۳ وات توان خنک کنندگی در دمای ۲/۳ می باشد. موتور کلوین تولید کند و ضریب عملکرد سردساز می باشد. موتور ترمواکوستیک کوپل شده با سردساز دارای راندمان ۱۲ درصدی در تبدیل انرژی گرمایی به انرژی آکوستیکی می باشد. ضریب عملکرد کلی سردساز کوپل برابر با ۲۰ درصد می باشد. می توان از سامانه های سردساز کوپل ترمواکوستیکی به عنوان یک سامانه جدید برای بازیافت گرمای اталافی موتور های احتراق داخلی استفاده نمود.

۵- مراجع

- [1] Higgins, B.; "On the sound produced by a current of hydrogen gas passing through a tube",